

การศึกษาพฤติกรรมการสึกหรอตัวยการทดสอบ Pin-on-Disc กับสภาพไร้การหล่อลื่น A Study the Wear Behavior of Pin-on-Disc Testing on Dry lubricant condition

บริณญา ศรีสัตย์กุล¹ ภาณุเดช แสงสีดา² สุธรรม ศิવาวุธ³ และ อริตาธิป หารชุมพล⁴

^{1,2,3} สาขาวิชาวิกรรมอุตสาหการ คณะวิกรรมศาสตร์ มหาวิทยาลัยเทคโนโลยีราชมงคลกรุงเทพ

⁴ สาขาวิชาวิกรรมการผลิตและออกแบบแม่พิมพ์ คณะวิกรรมศาสตร์และเทคโนโลยีอุตสาหกรรม มหาวิทยาลัยราชภัฏบ้านสมเด็จเจ้าพระยา

E-mail: parinya.sr@mail.rmutk.ac.th¹ panudech.s@mail.rmutk.ac.th²

sutham.s@mail.rmutk.ac.th³ และ thidathip.ha@bsru.ac.th⁴

Received 20 Sep 2020 Revised 10 Nov 2020 accepted 15 Nov 2020

บทคัดย่อ

งานวิจัยนี้ เป็นการศึกษาพฤติกรรมการสึกหรอตัวยการทดสอบ Pin-on-Disc ตาม มาตรฐาน ASTM G99 กับสภาพไร้การหล่อลื่น ใน การทดลองเชิงสถิตินี้ เป็นการประยุกต์ใช้ การออกแบบการทดลองเชิง แฟกทอร์เรียล มีพารามิเตอร์สำคัญ 3 พารามิเตอร์ ได้แก่ น้ำหนักกด คือ 1, 2 กิโลกรัม ความเร็วรอบ คือ 400, 800 รอบต่อนาที และเวลา คือ 5, 10, 15 นาที วัสดุชิ้นงานทดสอบสำหรับการทดลองมี 4 ประเภท ได้แก่ ผิวชิ้นงานทั้งสแตนดาร์บี (WC) ผิวชิ้นงานเคลือบไทเทเนียมไนโตรด (TiN) ผิวชิ้นงานเคลือบไทเทเนียมอลูминัมซิลิกอนใน ไตรด (TiAlSiN) และผิวชิ้นงานเคลือบไทเทเนียมอลูминัมซิลิกอนโครเมียมในไตรด (TiAlSiCrN) บทสรุปสุดท้ายของงานวิจัย พบว่า พฤติกรรมการสึกหรอโดยส่วนใหญ่ มีลักษณะเป็นร่องรอยที่ เกิดขึ้นจากการถลอก ซึ่งถือเป็นลักษณะการสึกหรอแบบบีดติด

Abstract

This research was studies the wear behavior by Pin-on-Disc testing of ASTM G99 standard. In statistical experiments, were applied the factorial experiment design. Three important parameters were the applied load of 1, 2 kg, the speed of 400, 800 rpm, and the time of 5, 10, 15 min. Four specimen films were tungsten carbide (WC), Titanium nitride (TiN), titanium aluminum silicon nitride (TiAlSiN), and titanium aluminum silicon chromium nitride (TiAlSiCrN). Summarily, the wear behavior characteristics was mostly exhibited that the sliding trace such as abrasive wear.

บทนำ

ปัจจุบัน เครื่องมือสำหรับงานตัดเนื้อวัสดุโลหะ ได้แก่ เม็ดเม็ด ดอกสว่าน และมีดกัด เป็นต้น มีบทบาทสำคัญในอุตสาหกรรมการผลิต โดยเฉพาะอุตสาหกรรมการผลิตชิ้นส่วนยานยนต์ ซึ่งมีการนำเครื่องมือตัดเหล่านี้เข้ามาประยุกต์ใช้งาน แต่เมื่อใช้งานไปเป็นเวลานานแล้ว เครื่องมือตัดจะเกิดการสึกหรอตามอายุการใช้งาน ส่งผลให้ประสิทธิภาพในกระบวนการตัดไม่มีประสิทธิภาพ จึงได้มีการนำเทคโนโลยีพื้นผิวเชิงวิศวกรรม (Surface Engineering Technology) ซึ่งเทคโนโลยีการปรับปรุงพื้นผิวโลหะ ได้แก่ การเคลือบพิวด้วยไอระเหยทางฟิสิกส์ (Physical Vapor Deposition : PVD) และการเคลือบพิวด้วยไอทางเคมี (Chemical Vapor Deposition : CVD) เป็นต้น ซึ่งเป็นกระบวนการตั้งกล่าวเหล่านี้ ช่วยเพิ่มความสามารถในการต้านทานการสึกหรอ (Wear Resistance) ได้อย่างมีประสิทธิภาพ

การทดสอบการสึกหรอตามมาตรฐาน ASTM G99 เป็นการจำลองสถานการณ์การทดสอบการสึกหรอ เพื่อศึกษาพฤติกรรมการสึกหรอระหว่างผิวสัมผัส (Interface) โดยเฉพาะวัสดุโลหะ-โลหะ วัสดุ ซึ่งเหมือนกับกระบวนการตัดเฉือนโลหะ ดังนั้น จึงมีความสอดคล้องสัมพันธ์กับกระบวนการผลิตด้วยกระบวนการตัดเฉือนในงานอุตสาหกรรมการผลิตโดยทั่วไป ทั้งลักษณะผิวสัมผัสเคลื่อนที่เป็นรูปแบบเชิงเส้นและแบบเชิงมุมด้วย โดยมีการศึกษาวิจัยในอดีตที่ผ่านมากันอย่างแพร่หลาย พบว่า

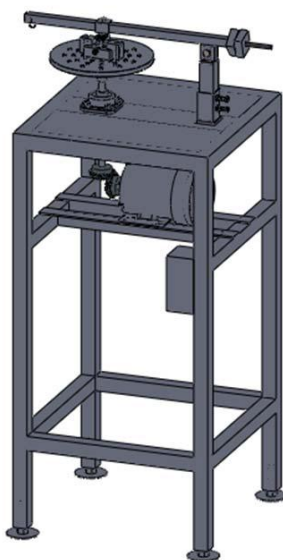
วรรณ แฉล่อน (2552) [1] ศึกษาผลกระทบของความเร็วการไถลที่มีต่อพฤติกรรมการสึกหรอของเหล็กกล้าไร้สนิม 316L ขึ้นรูปโดยวิธี MIM โดยใช้เครื่องทดสอบแบบ Pin-on-Disc ขึ้นทดสอบบนมุด (Pin) และขึ้นทดสอบบน (Disc) ผลิตจากวัสดุชนิดเดียวกันทำการทดสอบในสภาพไร้สารหล่อลื่น (Dry Lubricant) ที่ภาวะกดคงที่ 1 MPa ในช่วงความเร็วการไถล 0.2-2.0 m/sec ทำการวิเคราะห์พื้นผิวการสึกหรอและเชคการสึกหรอโดยกล้องจุลทรรศน์แบบส่องกราด (SEM) และมาตรวัดการเลี้ยวเบนของรังสีเอ็กซ์ (XRD) ผลการศึกษาพบว่า การสึกหรอแสดงลักษณะการหลุดล่อนในลักษณะแผ่นซึ่งเกิดจากการสะสมของรอยร้าวได้ผิว และขยายตัวกลายเป็นเศษการสึกหรอในลักษณะแผ่นพฤติกรรมการสึกหรอในช่วงความเร็วการไถลต่ำ 0.2-0.6 m/sec ควบคุมโดยกลไกการแนบติด (Adhesive) ในขณะที่พฤติกรรมในช่วงความเร็วการไถลสูง 0.6-2.0 m/sec ควบคุมโดยกลไกการขัดถู (Abrasive) และผลกระทบจากความร้อนที่ทำให้วัสดุอ่อนตัวลง นิติกร (2554) [2] ศึกษาผลกระทบของอุณหภูมิผิวสัมผัสต่อพฤติกรรมการสึกหรอของวัสดุอี้พอกซีเรซิน (Epoxy-Resin) เติมซิลิค้า (Silica) บดโดยใช้ชุดทดสอบแบบ Pin-on-Disc ในสภาพไร้สารหล่อลื่น (Dry Lubricant) ในช่วงความเร็วการไถล 0.2-2.0 m/sec ที่ภาวะแรงกด 70-200 N โดยที่อุณหภูมิเฉลี่ยพื้นผิวสัมผัส (Surface Bulk Temperature) ของขึ้นทดสอบแบบมุดนั้น ประมาณค่าจาก

อุณหภูมิบันช์งานทดสอบแบบหมุด ณ ตำแหน่ง 1 mm (Sink Temperature) จากผิวสัมผัสที่ความเร็วการไถลต่ำกว่าการสึกหรอจะเพิ่มขึ้นตามความเร็วการไถลที่สูงขึ้นจากนั้นเมื่อถึงจุดๆ หนึ่ง การสึกหรอที่เกิดขึ้นจะลดลงสาเหตุมาจากการอุณหภูมิเฉลี่ยพื้นผิวสัมผัสที่เกิดขึ้นขณะที่เกิดการสึกหรอ สะสมสูงขึ้นเกินอุณหภูมิจุดเปลี่ยนเนื้อแก้ว (Glass Transition Temperature) ทำให้สมบัติของอิพอกซีเรซิโนเปลี่ยนแปลงไป ทำให้บริเวณผิวสัมผัสอ่อนตัวลง ผลที่ได้พบว่า อุณหภูมิเฉลี่ยที่ผิวสัมผัสสอดคล้องกับสภาพความเสียหายที่เกิดขึ้นบนผิวสัมผัสจริงโดยการสึกหรอที่เกิดขึ้นนั้น แบ่งเป็น 3 ลักษณะ คือ การสึกหรอแบบการขัดถูการสึกหรอแบบขัดถูร่วมกับการแตกหักของอนุภาคซิลิกา และการแตกหักของอิพอกซีเรซิโนที่อุณหภูมิต่ำ และการสึกหรอแบบขัดถูร่วมกับการแตกหักของอนุภาคซิลิกา และการแตกหักของอิพอกซีเรซิโนที่อุณหภูมิสูง ศุภชัย และคณะ (2555) [3] ออกแบบสร้างเครื่องทดสอบวัสดุ ความเสียดทานตามรูปแบบมาตรฐาน The Special Test Jigs for Friction Measurements JIS K7125 มาประยุกต์ใช้ร่วมกับมาตรฐาน Clutch Facings for Automobiles JIS D4311 โดยมุ่งเน้นไปที่การศึกษาค่าสัมประสิทธิ์ความเสียดทานสถิต (μ_s) และค่าสัมประสิทธิ์ความเสียดทาน滚动 (μ_k) ในสภาพอุณหภูมิและการระน้ำหนักที่แตกต่างกัน และใช้ตัวอย่างผ้าเบรก 3 ชนิด ที่ได้รับการสนับสนุนจากภาครัฐฯ สำนักงานมาตรฐานสากล ดำเนินการทดสอบ และเปรียบเทียบกับ

ผลทดสอบจากเครื่อง Pin-on-Disc ที่ผ่านการทดสอบโดยบริษัทฯ ผู้ผลิตผ้าเบรก ซึ่งผลการทดสอบของผ้าเบรกทั้ง 3 ชนิด สะท้อนให้เห็นว่าผลการทดสอบที่ได้จากเครื่องทดสอบทั้ง 2 รูปแบบ มีแนวโน้มที่สอดคล้องกัน โดย Pin-on-Disc ให้ค่าสัมประสิทธิ์ความเสียดทานที่สูงกว่าเครื่อง Friction Testing เท่ากับ 19.56% และค่าสัมประสิทธิ์ความเสียดทานมีแนวโน้มที่จะแปรผันตามอุณหภูมิ นอกจากนี้ ค่าสัมประสิทธิ์ความเสียดทานสถิตจะมีค่าสูงกว่าค่าสัมประสิทธิ์ความเสียดทาน滚动จะมีความแตกต่างกันมากขึ้น เมื่อยุ่งวายใต้สภาพความดันสูง ภานุพงษ์ และคณะ (2560) [4] ได้ศึกษาการออกแบบขนาดทดลองการสึกหรอแบบ Pin-on-Disc ที่มีเครื่องขัดงานเป็นงานหมุน และศึกษากลไกการสึกหรอของเหล็กกล้าไร้สนิม 304 ผิวชั้นงานทดสอบถูกเตรียมตามมาตรฐาน ASTM G99-04 (2014) ลักษณะของชุดแขนกัดน้ำหนัก และงานหมุนทดสอบแยกออกจากกัน น้ำหนักทดสอบถูกวางไว้ในแนวเดียวกับหัวกดที่มีทิศทางตั้งฉากกับชั้นงานทดสอบ การสึกหรอของเหล็กกล้าไร้สนิม 304 มีเงื่อนไขในการทดสอบที่ความเร็วรอบ 80, 160 rpm น้ำหนักกด 200, 400, 600 g และมีระยะทดสอบ 600 m ผลการทดสอบพบว่าชั้นงานทดสอบมีร่องการสึกหรอที่ปรากฏเป็นวงรัศมีคงที่ ค่าอัตราการสึกหรอที่ได้จากความชันของกราฟความสัมพันธ์เชิงสัมของปริมาตรที่หายไปกับระยะทดสอบมีค่าเพิ่มขึ้นตามน้ำหนักกด และความเร็วรอบของ

งานหมุน ลักษณะของความกว้างร่องการสึกหรอจะมีความกว้างเพิ่มขึ้นตามระยะทดสอบที่ระยะทดสอบ 600 m มีค่าอัตราการสึกหรอมากที่สุด 8.97×10^4 , 19.0×10^4 m/mm^3 ของความเร็วรอบงานหมุน 80, 160 rpm ตามลำดับ ลักษณะโครงสร้างทางจุลภาคและกลไกของร่องการสึกหรอที่สังเกตจากกล้องจุลทรรศน์แบบใช้แสง และกล้องจุลทรรศน์อิเล็กตรอนแบบส่องภาพพบว่า ร่องการสึกหรอของเหล็กกล้าไร้สนิมที่ปรากฏมีการเปลี่ยนรูปแบบถาวร รอยชุด และอนุภาคน้ำที่หลุดออกบนร่องผิวสึกหรอปรากฏการณ์นี้สอดคล้องกับตามมาตรฐานการสึกหรอของเหล็กกล้าไร้สนิม จึงสรุปได้ว่า แขนงทดสอบการสึกหรอแบบ Pin-on-Disc ที่สร้างขึ้นสามารถใช้ทดสอบการสึกหรอของเหล็กกล้าไร้สนิม 304 ได้อย่างมีประสิทธิภาพ จากเหตุผลดังกล่าวข้างต้น วัตถุประสงค์ของงานวิจัยนี้ จะเป็นการศึกษาพฤติกรรมการสึกหรอตามมาตรฐาน ASTM G99 โดยวิเคราะห์เปรียบเทียบกันระหว่าง วัสดุผิวชั้นงาน 4 รูปแบบ ได้แก่ ผิวชั้นงานทั้งสแตนдар์บีด์ (WC) ผิวชั้นงานเคลือบไทเทเนียมในไตร์ (TiN) ผิวชั้นงานเคลือบไทเทเนียมอลูминัมชิลิกอนในไตร์ (TiAlSiN) และผิวชั้นงานเคลือบไทเทเนียมอลูминัมชิลิกอนเครเมียมในไตร์ (TiAlSiCrN) เพื่อ เป็นฐานข้อมูลสำคัญสำหรับการวิเคราะห์ อายุการใช้งาน (Tool Life) วัสดุเชิงวิศวกรรมของงานอุตสาหกรรมการผลิตต่อไป วิธีดำเนินการวิจัย

ในกระบวนการทำงานวิจัยนี้ ขั้นตอนแรก จะเป็นการจัดเตรียมกระบวนการทดลองเกี่ยวกับการศึกษาพฤติกรรมการสึกหรอด้วยการทดสอบ Pin-on-Disc ตามมาตรฐาน ASTM G99 กับสภาพไว้การหล่อลื่นนั้น โดยเริ่มจากการเตรียมผิวชั้นงานทดสอบกับชั้นงานวัสดุทั้งสแตนดาร์บีด์ (WC) ด้วยกระบวนการเคลือบผิวด้วยไอระเหยทางฟิสิกส์ (Physical Vapor Deposition : PVD) กับเทคนิคแค็ทodic Arc ซึ่ง ชั้นงานวัสดุ WC เป็นทั้งวัสดุผิวชั้นงานทดสอบ (Specimen) และผิวชั้นงานทดสอบรองรับสารเคลือบ (Substrate) อีก 3 ผิวเคลือบ ได้แก่ ผิวเคลือบ TiN ผิวเคลือบ TiAlSiN และผิวเคลือบ TiAlSiCrN จากนั้นชั้นงานที่มีผิวงานที่แตกต่างทั้ง 4 รูปแบบเหล่านี้ มีรูปทรงสี่เหลี่ยมขนาด $12.7 \times 12.7 \times 3.18$ mm จะถูกนำมาดำเนินการทดลองกับเครื่องทดสอบการสึกหรอ Pin-on-Disc ตาม มาตรฐาน ASTM G99 โดยใช้เข็มกด (Pin) เป็นวัสดุทั้งสแตนดาร์บีด์ (WC) ขนาดเส้นผ่านศูนย์กลาง 2.4 mm ตั้งแสดงรายละเอียดโครงสร้างของเครื่องทดสอบการสึกหรอได้ในรูปที่ 1



รูปที่ 1 ผิวเคลือบ TiN, TiAlSiN และ TiAlSiCrN

รูปแบบการทดลองในการศึกษานี้ เป็นการประยุกต์ใช้หลักการออกแบบและวิเคราะห์การทดลอง (Design and Analysis of Experiment : DOE) ด้วยเทคนิคการทดลองเชิงแฟกторิアル (Factorial Experiment) ที่มีพารามิเตอร์สำคัญในการศึกษา 3 พารามิเตอร์ ได้แก่ น้ำหนักกด (Applied Load : AL) คือ 1, 2 kg ความเร็ว รอบ (Speed : S) คือ 400, 800 rpm และเวลา (Time : T) คือ 5, 10, 15 min โดยมีค่าเสียวกับน้ำหนักที่สูญเสีย (Weight Loss : WL) เป็นผลตอบสนองที่ใช้ในการศึกษา (Response) และดำเนินการเก็บข้อมูลซ้ำ (Replicates) จำนวน 5 ครั้ง

การเก็บข้อมูลสำหรับการศึกษานี้ จะแบ่งออกเป็น 2 รูปแบบ ตามวัตถุประสงค์ ในการวิเคราะห์ข้อมูล คือ ข้อมูลสำหรับการวิเคราะห์เชิงสถิติ (Statistical Analysis) ตามหลักการออกแบบและวิเคราะห์การทดลอง (DOE) ด้วยเทคนิคการทดลองเชิงแฟกторิアル โดยจะใช้เครื่องชั่งน้ำหนักความละเอียด 0.001 g ยี่ห้อ Sartorius รุ่น GD2102 (ดังแสดงในรูปที่ 2) สำหรับการเก็บข้อมูลเกี่ยวกับน้ำหนักที่เกิดขึ้นในแต่ละช่วงเวลาในการทดลองตามแผนการทดลอง ส่วนข้อมูลสำหรับการวิเคราะห์พื้นผิวของวัสดุ (Material Surface Analysis) เป็นการตรวจสอบลักษณะการสึกหรอ'Brien ผิวด้วยกล้องไมโครสโคป ยี่ห้อ Olympus รุ่น STM6 (ดังแสดงในรูปที่ 3) ด้วยกำลังขยาย 20 เท่า (20X) เพื่อศึกษาลักษณะของรอยสึกหรอบนผิววัสดุจากการทดสอบการสึกหรอที่เกิดขึ้นในแต่ละช่วงเวลาในการทดลองตามแผนการทดลอง



รูปที่ 2 เครื่องชั่งน้ำหนักความละเอียด 0.001 g
ยี่ห้อ Sartorius รุ่น GD2102



รูปที่ 3 กล้องไมโครสโคป ยี่ห้อ Olympus รุ่น STM6

ตารางที่ 1 ผลการวิเคราะห์เชิงสถิติก่อนกับชิ้นงาน WC

Source	DF	SS	MS	F-Value	P-Value
Model	11	0.000006	0.000001	12.85	< 0.001*
A	1	0.000000	0.000000	1.39	0.244
S	1	0.000002	0.000002	34.78	< 0.001*
T	2	0.000001	0.000001	15.06	< 0.001*
A*S	1	0.000000	0.000000	5.28	< 0.026*
A*T	2	0.000001	0.000001	12.74	< 0.001*
S*T	2	0.000001	0.000001	13.37	< 0.001*
A*S*T	2	0.000001	0.000000	8.77	< 0.001*
Error	48	0.000002	0.000000		
Total	59	0.000008			

ตารางที่ 2 ผลการวิเคราะห์เชิงสถิติก่อนกับชิ้นงาน TiN

ผลการวิจัย

Source	DF	SS	MS	F-Value	P-Value
Model	11	0.000014	0.000001	13.05	< 0.001*
A	1	0.000001	0.000001	11.10	< 0.001*
S	1	0.000005	0.000005	50.13	< 0.001*
T	2	0.000002	0.000001	7.92	< 0.001*
A*S	1	0.000000	0.000000	0.84	0.364
A*T	2	0.000002	0.000001	10.07	< 0.001*
S*T	2	0.000002	0.000001	11.74	< 0.001*
A*S*T	2	0.000002	0.000001	10.99	< 0.001*
Error	48	0.000005	0.000000		
Total	59	0.000018			

ดำเนินการเก็บรวมตามแผนการทดลอง ตารางที่ 3 ผลการวิเคราะห์เชิงสถิติก่อนกับชิ้นงาน
เชิงสถิติเหล่านี้ ซึ่งมีการดำเนินการเก็บข้อมูล

Source	DF	SS	MS	F-Value	P-Value
Model	11	0.000005	0.000000	13.24	< 0.001*
A	1	0.000000	0.000000	0.16	0.691
S	1	0.000001	0.000001	22.99	< 0.001*
T	2	0.000001	0.000001	14.37	< 0.001*
A*S	1	0.000000	0.000000	0.64	0.428
A*T	2	0.000001	0.000001	14.54	< 0.001*
S*T	2	0.000001	0.000000	12.63	< 0.001*
A*S*T	2	0.000001	0.000001	19.41	< 0.001*
Error	48	0.000002	0.000000		
Total	59	0.000007			

ได้ในตารางที่ 1-4

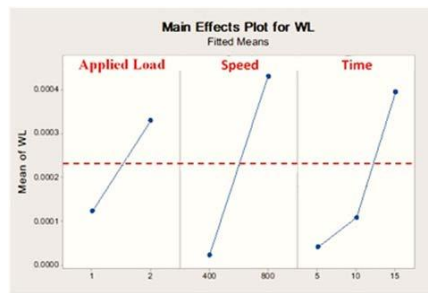
ตารางที่ 4 ผลการวิเคราะห์เชิงสถิติเกี่ยวกับ
ชิ้นงาน TiAlSiCrN

Source	DF	SS	MS	F-Value	P-Value
Model	11	0.000005	0.000000	11.53	< 0.001*
A	1	0.000001	0.000001	15.69	< 0.001*
S	1	0.000002	0.000002	60.75	< 0.001*
T	2	0.000000	0.000000	0.20	0.819
A*S	1	0.000000	0.000000	1.63	0.207
A*T	2	0.000001	0.000001	18.03	< 0.001*
S*T	2	0.000000	0.000000	5.22	< 0.009*
A*S*T	2	0.000000	0.000000	0.91	0.409
Error	48	0.000002	0.000000		
Total	59	0.000007			

ผลการวิเคราะห์เชิงสถิติเกี่ยวกับ
ชิ้นงาน WC ตามหลักการวิเคราะห์ความ
แปรปรวน (Analysis of Variance :
ANOVA) ทั้งในส่วนอิทธิพลหลัก (Main
Effect) กับอิทธิพลร่วมกันระหว่าง
พารามิเตอร์ (Interaction) ดังแสดงตารางที่
1 พบว่า พารามิเตอร์ทั้ง 3 พารามิเตอร์
ได้แก่ น้ำหนักกด (A) ความเร็ว (S) และ
เวลา (T) มีอิทธิพลต่อน้ำหนักที่สูญเสีย
(WL) ของชิ้นงาน WC, TiN, TiAlSiN และ
TiAlSiCrN อย่างมีนัยสำคัญเชิงสถิติ ที่ระดับ
ความเชื่อมั่น 95% เนื่องจากในการ
พิจารณาแต่ละเทอมทั้งอิทธิพลหลัก (Main
Effect) กับอิทธิพลร่วมกันระหว่าง
พารามิเตอร์ (Interaction) โดยส่วนใหญ่
แล้ว จะมีค่า P-value < α กล่าวคือ P-
value < 0.05 ถึงแม้ว่าในการวิเคราะห์เชิง
สถิติกับวัสดุชิ้นงานบางชนิดจะมีบางเทอม
ไม่มีอิทธิพล อาทิเช่น วัสดุชิ้นงาน WC จะมี

เหตุผลเกี่ยวกับอิทธิพลหลักของพารามิเตอร์
น้ำหนักกด (A) จะไม่มีอิทธิพลเนื่องจากมีค่า

P-value > α กล่าวคือ 0.244 > 0.05 แต่
เมื่อทำการพิจารณาเทอมเกี่ยวกับอิทธิพล
ร่วมกันระหว่างพารามิเตอร์แผลแฟง 2
พารามิเตอร์ ไม่ว่าจะเป็นเทอม A*S และ
A*T หรือแม้แต่เทอมเกี่ยวกับอิทธิพล
ร่วมกันระหว่างพารามิเตอร์แผลแฟง 3
พารามิเตอร์ คือ A*S*T ก็ตาม เทอมทั้งหมด
ดังกล่าวเหล่านี้ล้วนแล้วแต่มีอิทธิพลต่อ
น้ำหนักที่สูญเสีย (WL) อย่างมีนัยสำคัญเชิง
สถิติ ที่ระดับความเชื่อมั่น 95% ดังนั้น จึง
สามารถสรุปได้ว่าพารามิเตอร์ทั้ง 3
พารามิเตอร์ ได้แก่ น้ำหนักกด (A) ความเร็ว
(S) และ เวลา (T) มีอิทธิพลต่อน้ำหนักที่
สูญเสีย (WL) ของชิ้นงาน WC, TiN,
TiAlSiN และ TiAlSiCrN อย่างมีนัยสำคัญ
เชิงสถิติ ที่ระดับความเชื่อมั่น 95% โดย
ลักษณะอิทธิพลของพารามิเตอร์ทั้ง 3
พารามิเตอร์เหล่านี้ สามารถแสดงได้ดังรูปที่
4

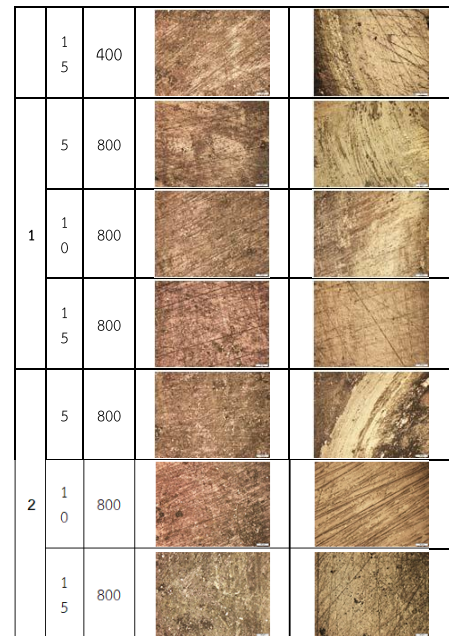


รูปที่ 4 ลักษณะอิทธิพลของพารามิเตอร์ทั้ง 3
พารามิเตอร์

ผลการวิเคราะห์พื้นผิวสุดขั้นงาน WC, TiN, TiAlSiN และ TiAlSiCrN ภายหลังจากการทดสอบการสึกหรอ ดัง แสดงในตารางที่ 5, 6, 7 และ 8 พบว่า ลักษณะการสึกหรอเป็นชนิดเดียวกัน คือ การสึกหรอแบบไอล (Abrasive Wear) รวม กับ การ สึก หร อ แบบ ยึด (Adhesive Wear) แต่เมื่อเพิ่มน้ำหนักกด และ/หรือ เพิ่มความเร็วรอบแล้ว ลักษณะ การสึกหรอที่ปรากฏจะมีอัตราการสึกหรอ สูงเพิ่มมากขึ้นอย่างชัดเจน ซึ่งสอดคล้อง สม พันธ์ กับ ลักษณะ อิทธิพล ของ พารามิเตอร์ทั้ง 3 พารามิเตอร์ (ดังแสดงใน รูปที่ 4)

ตารางที่ 5 ผลการวิเคราะห์พื้นผิวสุดขั้นงาน WC

นา้มนูกัด (กฐ)	น้ำหนัก (กิโล)	ความเร็วรอบ (รปม)	พื้นผิว ก่อนทดสอบ		พื้นผิว หลังการทดสอบ	
			พื้นผิว ก่อนทดสอบ	หลังการทดสอบ	พื้นผิว ก่อนทดสอบ	หลังการทดสอบ
1	5	400				
	10	400				
	15	400				
2	5	800				
	10	800				



ตารางที่ 6 ผลการวิเคราะห์พื้นผิวสุดขั้นงาน TiN

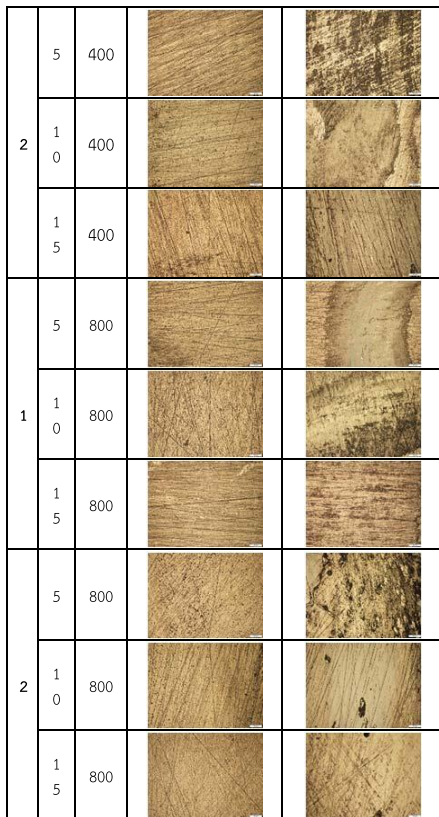
นา้มนูกัด (กฐ)	น้ำหนัก (กิโล)	ความเร็วรอบ (รปม)	พื้นผิว ก่อนทดสอบ		พื้นผิว หลังการทดสอบ	
			พื้นผิว ก่อนทดสอบ	หลังการทดสอบ	พื้นผิว ก่อนทดสอบ	หลังการทดสอบ
1	5	400				
	10	400				
	15	400				
2	5	400				
	10	400				

	1 5	400		
1	5	800		
	1 0	800		
	1 5	800		
2	5	800		
	1 0	800		
	1 5	800		

ตารางที่ 7 ผลการวิเคราะห์พื้นผิววัสดุชิ้นงาน TiAlSiN

	น้ำหนักกัด (kg)	เวลา (min)	ความเร็วรอบ (rpm)	พื้นผิว ก่อนทดสอบ	พื้นผิว หลังการทดสอบ
1	5	400			
	1 0	400			
	1 5	400			
2	5	400			
	1 0	400			
	1 5	400			

ตารางที่ 8 ผลการวิเคราะห์พื้นผิววัสดุชิ้นงาน TiAlSiCrN



สรุปผลการวิจัย

ผลลัพธ์จากการวิเคราะห์ข้อมูลเชิงสถิติเกี่ยวกับค่า'n้ำหนักที่สูญเสีย (WL) ของชิ้นงานทดสอบวัสดุ WC, TiN, TiAlSiN และ TiAlSiCrN พบว่ามีแนวโน้มเป็นไปในทิศทางเดียวกัน กล่าวคือ พารามิเตอร์ทั้ง 3 ได้แก่น้ำหนักกด (A) ความเร็ว (S) และ เวลา (T) มีอิทธิพลต่อน้ำหนักที่สูญเสีย (WL) ของชิ้นงานทดสอบ อย่างมีนัยสำคัญเชิงสถิติ ที่ระดับความเชื่อมั่น 95%

ผลลัพธ์จากการวิเคราะห์ลักษณะการสึกหรอบนพื้นผิวชิ้นงานด้วยกล้องไมโครสโคป กำลังขยาย 20 เท่า พบว่า ชิ้นงานทดสอบวัสดุ WC, TiN, TiAlSiN และ TiAlSiCrN มีการสึกหรอบริเวณผิวสัมผัสเป็นการสึกหรอที่เกิดขึ้นจากการถลอก (Abrasive Wear) ร่วมกับกัดกร่อนแบบการสึกหรอแบบยึดติด (Adhesive Wear) ซึ่งเกิดจากการถ่ายโอนเนื้อวัสดุของหัวกด (Pin) ไปยังพื้นผิวชิ้นงานทดสอบบางส่วนด้วยการขัดที่คู่ผิวสัมผัสนั้นจนเกะยึดติดแน่นบนผิวของชิ้นงานทดสอบ โดยถือเป็นการโอนถ่ายเยื่อวัสดุบางๆ ของโครงสร้างวัสดุไปยังติดบนพื้นผิวของชิ้นงานทดสอบ

เอกสารอ้างอิง

- [1] เบญจวรรณ แสงวิเชียร และ ชาวนาน กานุจโนมัย. “ผลกระทบของความเร็วการถลอกต่อการศึกหรอของเหล็กกล้าไร้สนิม 361L ผลิตด้วยกระบวนการฉีดขึ้นรูปงลทะ.” โครงการค ล า ง ค ว า မ ร း ด ิ จ ิ ท ล มหาวิทยาลัยเกษตรศาสตร์. ปีที่ 22 ฉบับที่ 67 (กุมภาพันธ์ – เมษายน พ.ศ.2552)
- [2] นิติกร นรภัย พิกาชา. 2554. “ผลกระทบของอุณหภูมิผิวสัมผัสที่มีผลต่อพฤติกรรมการสึกหรอของอิพอกซีเรซิโนเติมซิลิเกบด.” วิทยานิพนธ์ปริญญามหาบัณฑิต มหาวิทยาลัยธรรมศาสตร์ 2554.

[3] สุกชัย หลักคำ และ กุลยศ สุวนทโรจน์.

2555. “การศึกษาสัมประสิทธิ์ความเสียดทานของผ้าเบรกโดยวิธีการทดสอบทางเลือก.” วารสารวิชาการประจำมหาวิทยาลัยราชภัฏเชียงใหม่ ปีที่ 22 ฉบับที่ 2 (พฤษภาคม – สิงหาคม พ.ศ. 2555)

[4] ภานุพงษ์ เพชรประดับ, นุชจิรา ดีแจ้ง

และ ออมริสา มณีรุ่ง. “การออกแบบแบบแนวคิดขั้นงานทดสอบการสึกหรอแบบ Pin on Disk และทดสอบกลไกการสึกหรอของเหล็กกล้าไร้สนิมเกรด 304.” 2561. วิทยาศาสตร์บัญชีฯ ปีที่ 23 ฉบับที่ 3 กันยายน – ธันวาคม พ.ศ.2561.